Si MOSFET の SS 値の極低温領域における温度依存性の定量的理解

Quantitative Understanding of Temperature Dependence of Sub-threshold Swing in Si MOSFETs at Cryogenic Temperatures

東大院工、姜旼秀、トープラサートポン カシディット、岡 博史、森 貴洋、竹中 充、[○]高木 信一 Univ. Tokyo, Min-Soo Kang, Kasidit Toprasertpong, Hiroshi Oka, Takahiro Mori, Mitsuru Takenaka, [°]Shinichi Takagi

E-mail: takagi@ee.t.u-tokyo.ac.jp

【背景】4K 近傍の極低温での Si MOSFET の電気 特性の正確な理解は、量子コンピュータシステム の制御回路応用などの点で重要である。MOSFET の低電圧動作の観点から重要な電気特性である sub-threshold swing (SS)は、Boltzmann 極限の下で は温度に比例するが、十分低温では値が飽和する ことが、SinMOSFET に対して報告されており[1]、 mobile tail state とバンド端にピーク値をもって Gaussian 分布する immobile state を仮定することに よって、実験結果を定量的に再現できることが知 られている[2-4]が、pMOSFETのSS値の報告は少 なく、nMOSFET との定量的比較にも乏しい。本研 究では、基板濃度の異なる Si nMOSFET と pMOSFET の SS 値の温度依存性を系統的に評価す ると共に、両者を定量的に再現できる物理モデル の構築に成功したので、報告する。

【実験手法・結果】10¹⁵ 台から 10¹⁸ cm⁻³ 台までの 幅広い範囲での基板不純物濃度を持つ Si nMOSFET と pMOSFET の SS 値の温度依存性を Fig. 1 と 2 に示す。nMOSFET の SS 値は温度の低 下と共に飽和するが、pMOSFET の SS 値は温度の 低下と共に増加する傾向が見られることが分かる。 このような pMOSFET の SS の温度依存性と基板 不純物濃度依存性の実験結果は、従来の DOS モデ ル[1]では十分説明できないことから、アモルファ ス半導体の DOS モデルを念頭に、Fig. 3 に示す様 な tail state の深いエネルギー位置にある DOS を immobile state、浅いエネルギー位置にある DOS を mobile state と見なす新しいモデルを提案する。提 案モデルにより計算された SS 値の温度依存性を Fig.1 と 2 の破線で示す。実験結果をよく説明でき ることが分かる。同じ物理パラメータを用いて、 nMOSFET と pMOSFET の SS 値のドレイン電流依 存性も定量的に説明できる。これらの実験結果を 再現できる DOS のエネルギー分布を Fig. 4 に示 す。pMOSFET の方が immobile state の密度が高い ことから、温度の低下と共にフェルミレベルでの immobile state 量が、pMOSFET で著しく増加する。 これが pMOSFET の SS 値が温度の低下と共に増 加する物理的起源と考えられる。

【結論】SipMOSFETでは温度の低下と共にSS値が増大することを実験的に見出した。nMOSFETとの温度依存性の違いは、tail stateの低エネルギー領域を immobile state、高エネルギー領域を mobile state とする DOS モデルにより、定量的に再現できることが明らかとなった。

【謝辞】本研究は国立研究開発法人新エネルギー・ 産業技術総合開発機構(NEDO)の委託業務 (JPNP16007)の支援により実施した。 【参考文献】[1] Beckers et al., EDL, 41, 276 (2020) [2] Beckers et al., TED, 67, 1357 (2020) [3] Kang et al., JJAP, 61, SC1032 (2022) [4] Kang et al., JJAP, 62, SC1062 (2023)

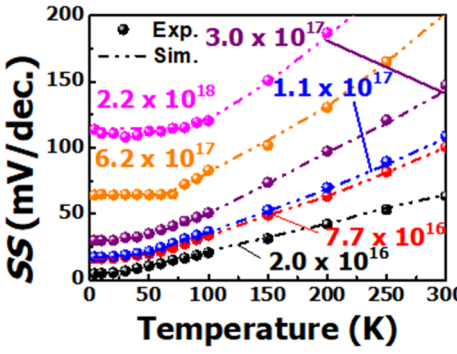


Fig. 1 Experimental and simulated temperature dependence of SS-T characteristics of nMOSFETs

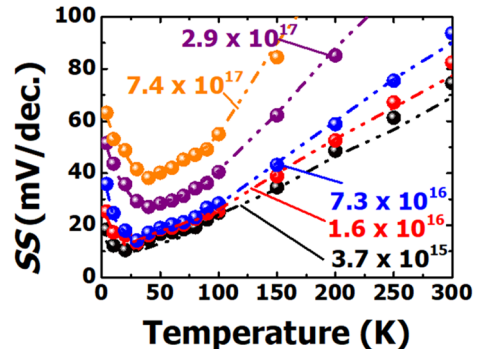


Fig. 2 Experimental and simulated temperature dependence of SS-T characteristics of pMOSFETs

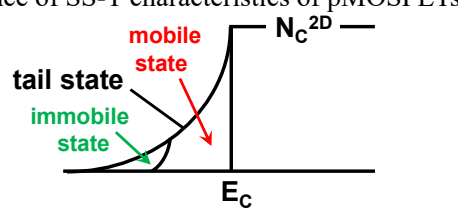


Fig. 3 Newly proposed band tail state model including mobile states and immobile states.

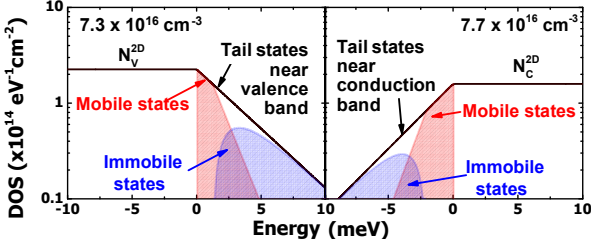


Fig. 4 Comparison in simulated DOS distributions and boundary energy between mobile and immobile states between nMOSFETs and pMOSFETs with similar N_{sub} of (7-8) x 10¹⁶ cm⁻³